

大阪市大 正員 鬼頭 宏明
 大阪市大 " 園田 忠一郎
 大阪工大 " 堀川 都志雄

1. はじめに

厚板問題の単純支持境界条件は多くの研究者によって議論されてきたが、これらの実際の構造物への適用性について議論は少ない。本研究は、各種の単純支持境界条件がもつ特性を3次元アイソパラメトリック有限要素法を用いて検討するものである。

2. 厚板理論での単純支持境界条件

厚板理論での単純支持境界条件は2種類のもの、Kirchhoff型単純支持(SS-1)と完全単純支持(SS-2)が通常採用されている。(Table.1)

一方、実際の構造物では、このような境界条件は見られなく、通常は支持辺を越えて張り出し部をもつものが多い。(Fig.1)

Table-1. Boundary conditions for simple support ($x=+a/2$)

	Thick Plate Theory	F.E.M.
SS-1	$M_x = \phi_y = w = 0$ or $v = w = \sigma_x = 0$	Type 1, 1'
SS-2	$M_x = M_{xy} = w = 0$ or $w = \sigma_x = \tau_{xy} = 0$	Type 2, 2'

3. 解析モデル

周辺単純支持された正方形厚板が全面等分布荷重を受ける場合を考える。(Fig.1) 板及び荷重の対称性を考慮して、その1/4の領域を取り出し、3次元アイソパラメトリック要素を用いてFig.2のように要素分割可。

前述した厚板理論の境界条件に対応するよう有限要素法での境界条件を設定可。まず、SS-1に対して支持辺上の面ごの回転角が零になるように、その面ごの全2のz方向変位を拘束可ように境界条件を設定可。(Fig.3(a)) また、張り出し部を考慮したものについても同様可。(Fig.3(b)) 次に、SS-2に対して支持辺上の面ごのねじりモーメントを解放可するように、その面上のz方向軸に直交可線(ここでは下端)ごのz方向変位を拘束可ように境界条件を設定可。(Fig.3(c)) また、張り出し部を考慮したものについても同様可。(Fig.3(d)) これらの4種類の境界条件を各Type 1, 1', 2, 2' と名づける。

4. 数値計算結果

まず、支持辺上に発生可節点反力に着目し、境界条件SS-1, SS-2によるK. Rajalaksh'sの厳密解との比較をTable.2に示す。なお、厳密解は反力分布曲線として与えられたものと積分可することにより節点位置ごの

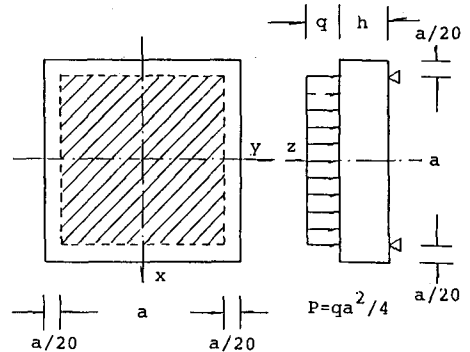
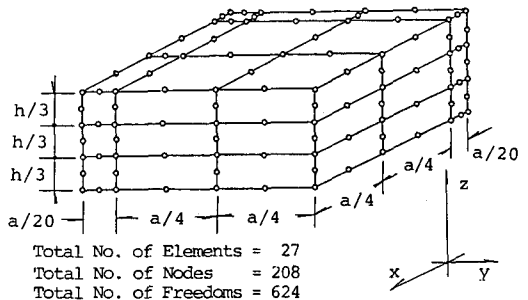


Fig-1. Simply supported thick plate under a distributed load



Total No. of Elements = 27
 Total No. of Nodes = 208
 Total No. of Freedoms = 624

Fig-2. Element subdivision

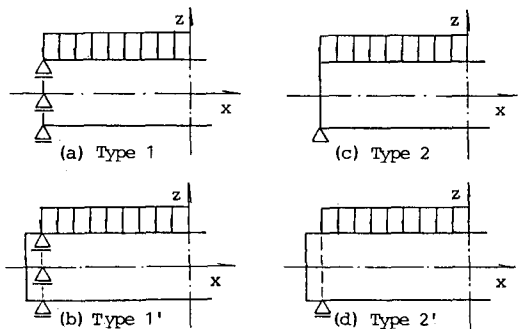


Fig-3. Various simple support conditions

集中かに換算している。

次に、支持部近傍での変位をFig. 4に、応力分布をFig. 5に示す。実線は示した理論解はSS-1の境界条件を用いたものである³⁾。

Fig. 4より、Type 2, 2'は、

支持部上面での状況により、Type 1, 1'に比べ差が生じていることが分かる。また、Fig. 5よりType 1, 1'に対しType 2, 2'はその下端のみ変位を拘束しているために、その支持部近傍での応力集中の影響により差が生じていることが分かる。

5. まとめ

ここで用いたパイロメトリック有限要素法は、境界条件を一致させた場合には、厚板理論による厳密解とほぼ同一の結果を得ることが分かった。

一方、実際の構造物で見られる境界条件の下では、変位に若干の相違が見られるが、応力はほぼ一致していることが分かった。

Table-2. Reactions along a simply supported line ($x/a=-.5, h/a=.2$)

Boundary Condition		Reaction						Error	
		$y/a=$	0.0	-.125	-.25	-.375	-.5	Σ	
F.E.M.	Type 1		0.0384	0.0339	0.0321	0.0135	0.0057	0.1101	-11.92
	Type 1'		0.0405	0.0371	0.0343	0.0129	-.0058	0.1189	-4.88
	Type 2		0.0315	0.0588	0.0233	0.0297	-.0023	0.1399	11.92
	Type 2'		0.0334	0.0617	0.0249	0.0275	-.0116	0.1359	8.72
Theory ²⁾	SS-1		0.0425	0.0403	0.0349	0.0249	0.0	0.1248	
	SS-2		0.0532	0.0518	0.0452	0.0226	-.0099	0.1362	

note ; Error(%)=(P-8ER₁)/P*100

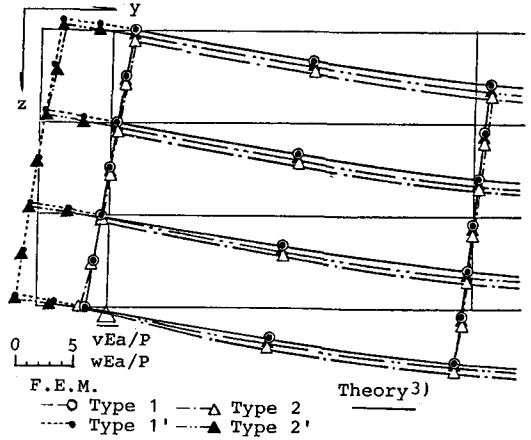


Fig-4. Deformation ($x/a=0, h/a=.2$)

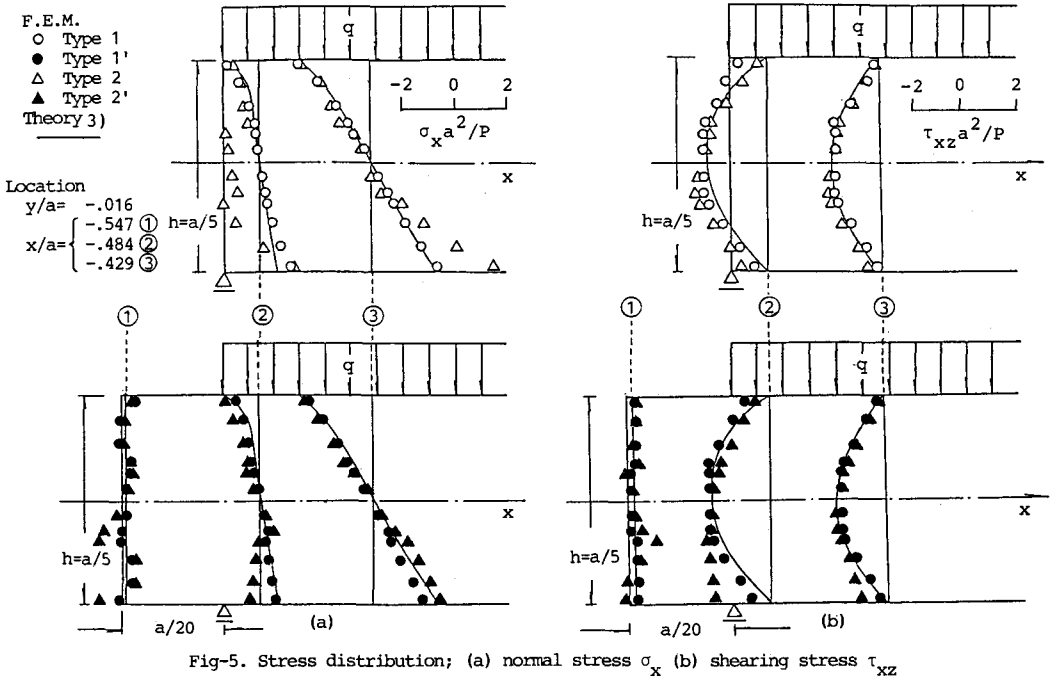


Fig-5. Stress distribution; (a) normal stress σ_x (b) shearing stress τ_{xz}

参考文献 1)日置典一郎「構造力学II」朝倉書店 2) K.Rajaiah et al. 「A Note on the Reaction at Simply Supported Corners」J. Appl. Mech., 45, 1978 3) T. Horikawa. et al., Memo. Osaka City Univ. Vol 16 4) 鬼頭. 園田. 堀川, 初58回工不関面支部 概論, 1985. 5